

Elektrische Eigenschaften

Electrical properties

Höchstzulässige Werte

Maximum rated values

Periodische Vorwärts- und Rückwärts-Spitzenperrspannung Vorwärts-Stoßspitzenperrspannung Rückwärts-Stoßspitzenperrspannung Durchlaßstrom-Grenzeffektivwert Dauergrenzstrom Stoßstrom-Grenzwert Grenzlastintegral Kritische Stromsteilheit Kritische Spannungssteilheit	repetitive peak forward off-state and reverse voltages	$t_{vj} = -40^{\circ}\text{C} \dots t_{vj\max}$	V_{DRM}, V_{RRM}	800, 1000	V
	non repetitive peak forward off-state voltage	$t_{vj} = -40^{\circ}\text{C} \dots t_{vj\max}$	$V_{DSM} = V_{DRM}$	1100, 1200	v
	non repetitive peak reverse voltage	$t_{vj} = +25^{\circ}\text{C} \dots t_{vj\max}$	$V_{RSR} = V_{RRM}$	1300, 1400*	v
	RMS on-state current	$t_C = 85^{\circ}\text{C}$	I_{TRMSM}	240	A
	average on-state current	$t_C = 70^{\circ}\text{C}$	I_{TAVM}	120	A
	surge current	$t_{vj} = 25^{\circ}\text{C}, t_p = 10 \text{ ms}$	I_{TSM}	152	A
	I^2t -value	$t_{vj} = t_{vj\max}, t_p = 10 \text{ ms}$	I^2t	3300	A
	critical rate of rise of on-state current	$t_{vj} = 25^{\circ}\text{C}, t_p = 10 \text{ ms}$	$(di/dt)_{cr}$	2900	A ² s
	critical rate of rise of off-state voltage	$t_{vj} = t_{vj\max}, t_p = 10 \text{ ms}$	$(di/dt)_{cr}$	54500	A ² s
		$V_D \leq 67\% V_{DRM}, f = 50 \text{ Hz}$	$(dv/dt)_{cr}$	42000	A ² s
		$i_{GM} = 0,6 \text{ A}, di_G/dt = 0,6 \text{ A}/\mu\text{s}$	i_B	160	Alus
		$t_{vj} = t_{vj\max}, V_D = 67\% V_{DRM}$	i_{B^*}	50	¹⁾ ²⁾ μs
			i_{C^*}	500	μs
			i_L	500	μs
			M^*	1000	μs

Charakteristische Werte

Characteristic values

Durchlaßspannung Schleusenspannung Ersatzwiderstand Zündstrom Zündspannung Nicht zündender Steuerstrom Nicht zündende Steuerspannung Haltestrom Einraststrom Vorwärts- u. Rückwärts-Sperrstrom Zündverzug Freiwerdezeit	on-state voltage	$t_{vj} = t_{vj\max}, i_T = 500 \text{ A}$	V_T	max.	2,2	v
	threshold voltage	$t_{vj} = t_{vj\max}$	$V_{T(TO)}$		1,2	v
	slope resistance	$t_{vj} = t_{vj\max}$	r_T		1,6	mΩ
	gate trigger current	$t_{vj} = 25^{\circ}\text{C}, V_D = 12 \text{ V}$	I_{GT}	max.	150	mA
	gate trigger voltage	$t_{vj} = 25^{\circ}\text{C}, V_D = 12 \text{ V}$	V_{GT}	max.	2	v
	gate non-trigger current	$t_{vj} = t_{vj\max}, V_D = 12 \text{ V}$	I_{GD}	max.	10	mA
	gate non-trigger voltage	$t_{vj} = t_{vj\max}, V_D = 0,5 V_{DRM}$	V_{GD}	max.	0,25	V
	holding current	$t_{vj} = 25^{\circ}\text{C}, V_D = 12 \text{ V}, R_A = 10 \Omega$	I_H	max.	250	mA
	latching current	$t_{vj} = 25^{\circ}\text{C}, V_D = 12 \text{ V}, R_{GK} \geq 10 \Omega$	I_L	max.	1	A
	forward off-state and reverse Currents	$i_{GM} = 0,6 \text{ A}, di_G/dt = 0,6 \text{ A}/\mu\text{s}, t_g = 20 \mu\text{s}$	i_D, i_R	max.	30	mA
	gate controlled delay time	$t_{vj} = t_{vj\max}, V_D = V_{DRM}, V_R = V_{RRM}$	t_{gd}	max.	1,4	μs
	circuit commutated turn-off time	$t_{vj} = 25^{\circ}\text{C}, i_{GM} = 0,6 \text{ A}, di_G/dt = 0,6 \text{ A}/\mu\text{s}$ siehe Techn. Erl./see Techn. Inf.	t_q	s:	18	μs

Thermische Eigenschaften

Thermal properties

Innerer Wärmewiderstand Höchstzul. Sperrsichttemperatur Betriebstemperatur Lagertemperatur	thermal resistance, junction to case	$\Theta = 180^{\circ} \text{ el, sin DC}$	R_{thJC}	max.	0,2	°C/W
				max.	0,186	°C/W
				$t_{vj\max}$		125°C
				$t_{C\ op}$		-40 ... + 125°C
				t_{stg}		-40 ... + 150°C

Mechanische Eigenschaften

Mechanical properties

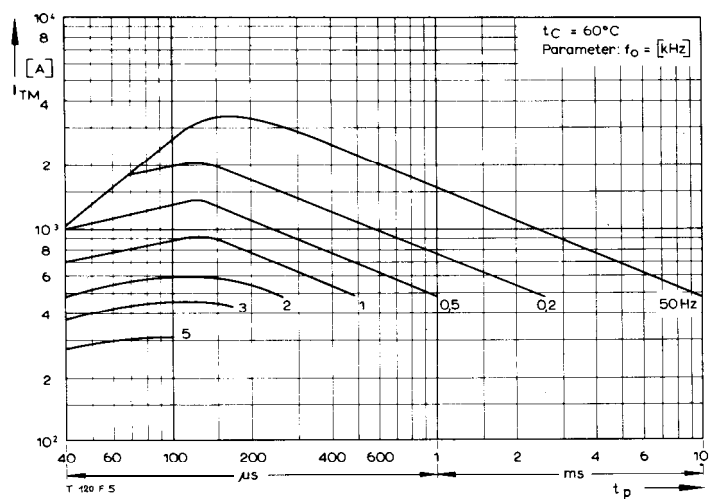
Si-Element mit Druckkontakt Anzugsdrehmoment Gewicht Kriechstrecke Feuchteklassse Schwingfestigkeit Maßbild B	Si-pellet with pressure contact		M G	typ.	20 Nm	
	tightening torque				150 g	
	weight				8 mm	
	Creepage distance				C	
	humidity classification				50 m/s ²	
	Vibration resistance				Seite/page 154	
	outline B					

* Für größere Stückzahlen bitte Liefertermin erfragen/Delivery for larger quantities on request

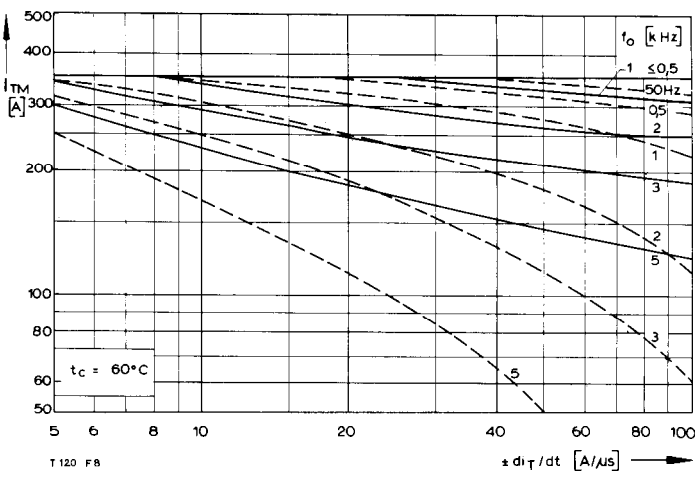
1) Werte nach DIN IEC 747-6 (ohne vorausgehende Kommutierung)/Values to DIN IEC 747-6 (without prior commutation)

2) Unmittelbar nach der Freiwerdezeit, vgl. Meßbedingungen für t_q /Immediately after circuit commutated turn-off time, see Parameters t_q

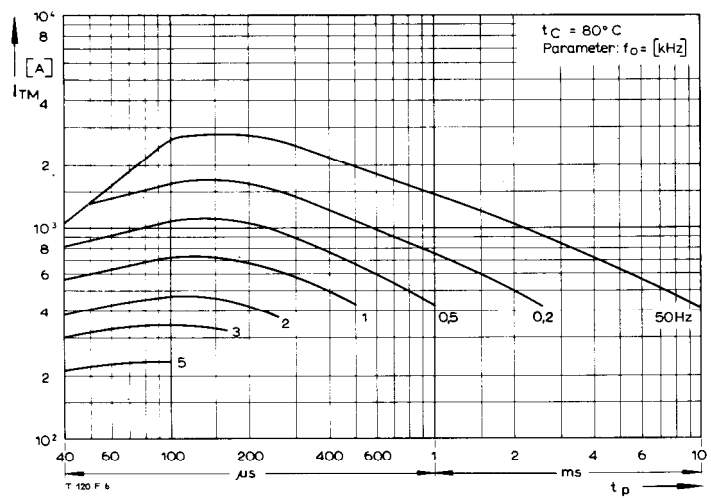
T 120 F



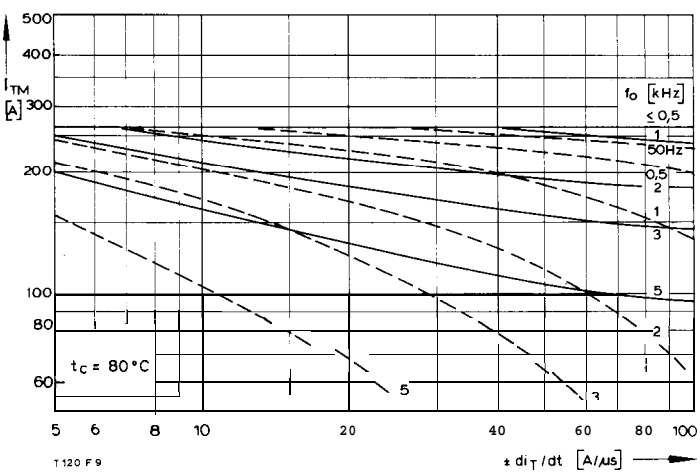
Bild/Fig. 1



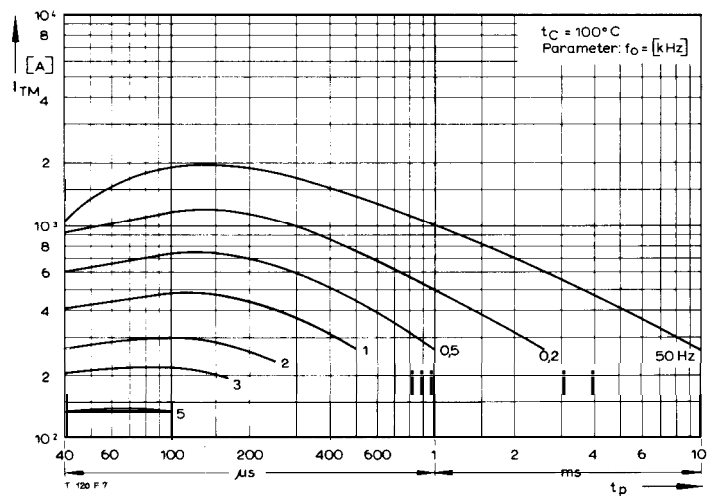
Bild/Fig. 4



Bild/Fig. 2



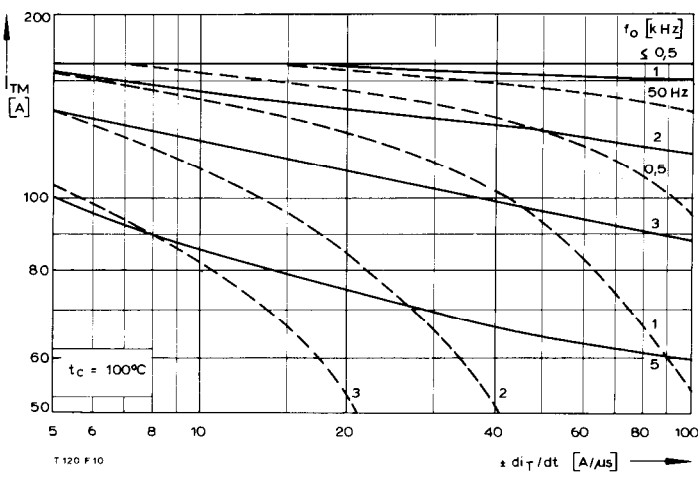
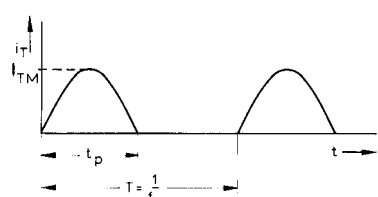
Bild/Fig. 5



Bild/Fig. 3

Bild/Fig. 1, 2, 3
Steuergenerator/pulse generator:
 $i_G = 0,6 \text{ A}$, $di_G/dt = 0,6 \text{ A}/\mu\text{s}$

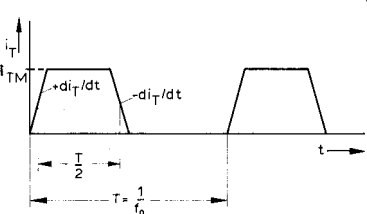
RC-Glied/RC-network:
 $R [\Omega] \geq 0,02 V_{DM} [\text{V}]$
 $C \leq 0,15 \mu\text{F}$
 $V_{DM} \leq 0,67 V_{DRM}$

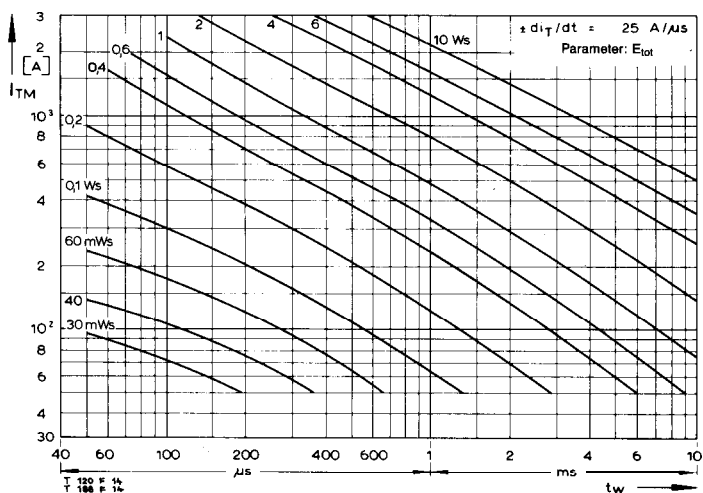


Bild/Fig. 6

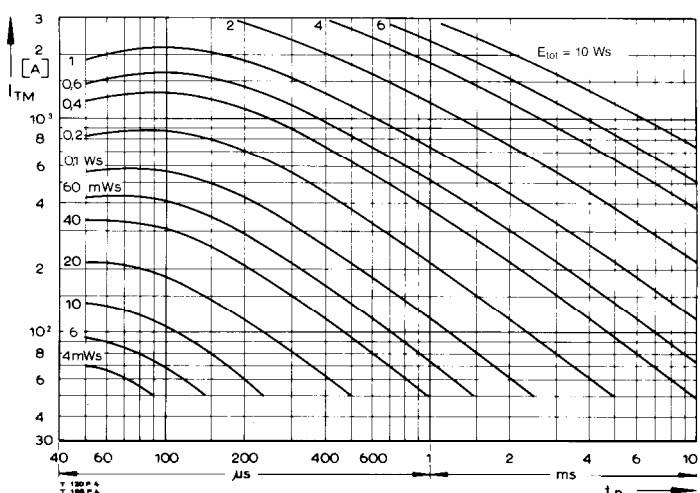
Bild/Fig. 4, 5, 6
Steuergenerator/pulse generator:
 $i_G = 0,6 \text{ A}$, $di_G/dt = 0,6 \text{ A}/\mu\text{s}$

RC-Glied/RC-network:
 $R [\Omega] \geq 0,02 V_{DM} [\text{V}]$
 $C \leq 0,22 \mu\text{F}$
 $V_{DM} \leq 0,67 V_{DRM}$
 $dv_R/dt \leq 600 \text{ V}/\mu\text{s}$
 $V_{RM} \leq 0,67 V_{RRM}$

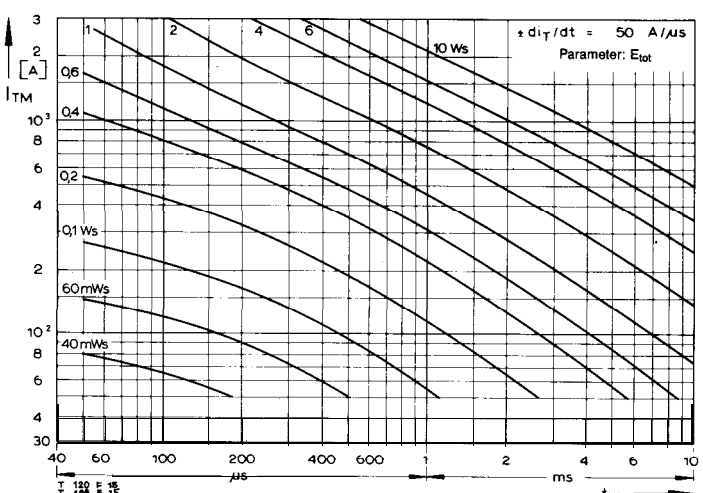




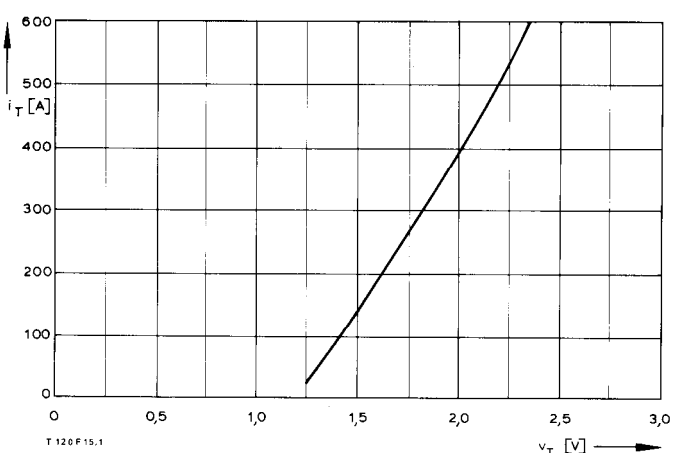
BildFig. 10



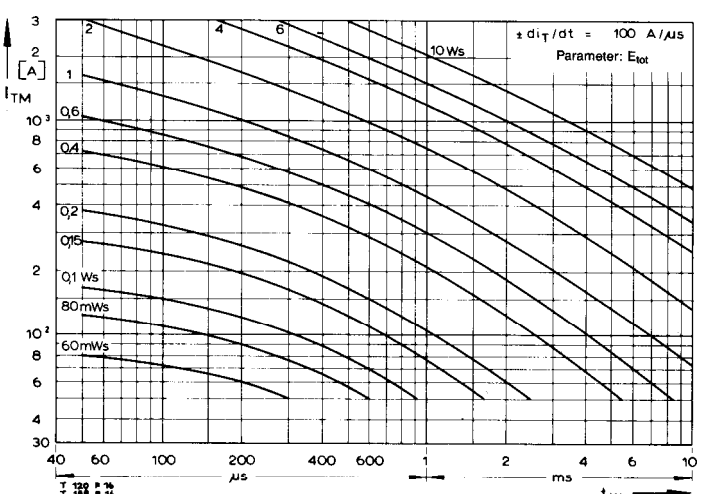
BildFig. 13



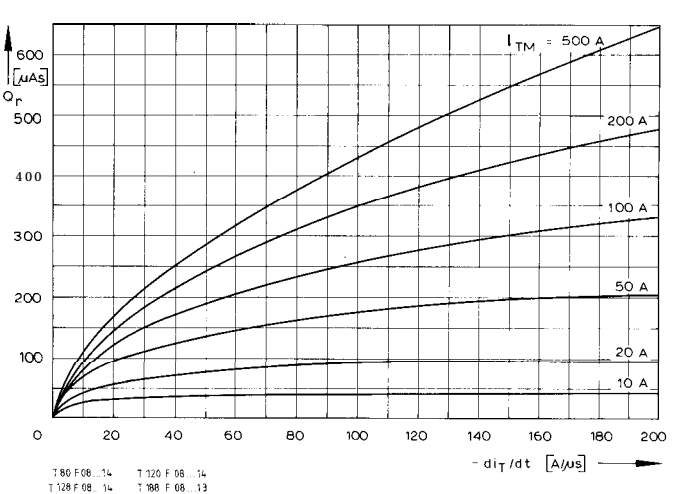
BildFig. 11



BildFig. 14



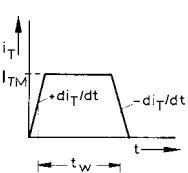
BildFig. 12



BildFig. 15

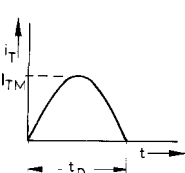
BildFig. 10, 11, 12
Steuergenerator/pulse generator:
 $i_G = 0.6 \text{ A}$, $di_G/dt = 0.6 \text{ A}/\mu\text{s}$

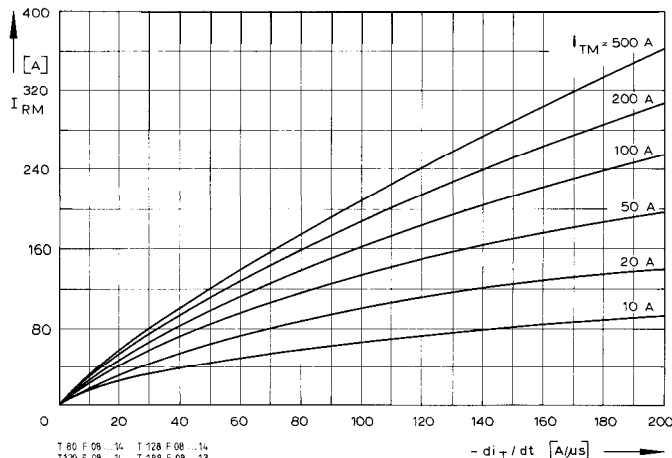
RC-Glied/RC-network:
 $R [\Omega] \geq 0.02 V_{DM} [\text{V}]$
 $C \leq 0.22 \mu\text{F}$
 $V_{DM} \leq 0.67 V_{D..}$,
 $dv_R/dt \leq 600 \text{ V}/\mu\text{s}$
 $V_{RM} \leq 0.67 V_{RRM}$



(zu Bild/to Fig. 13)
Steuergenerator/pulse generator:
 $i_G = 0.6 \text{ A}$, $di_G/dt = 0.6 \text{ A}/\mu\text{s}$

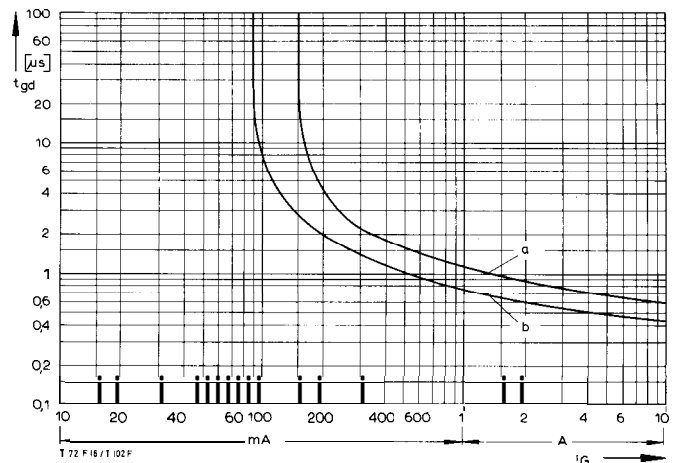
RC-Glied/RC-network:
 $R [\Omega] \geq 0.02 V_{DM} [\text{V}]$
 $C \leq 0.15 \mu\text{F}$





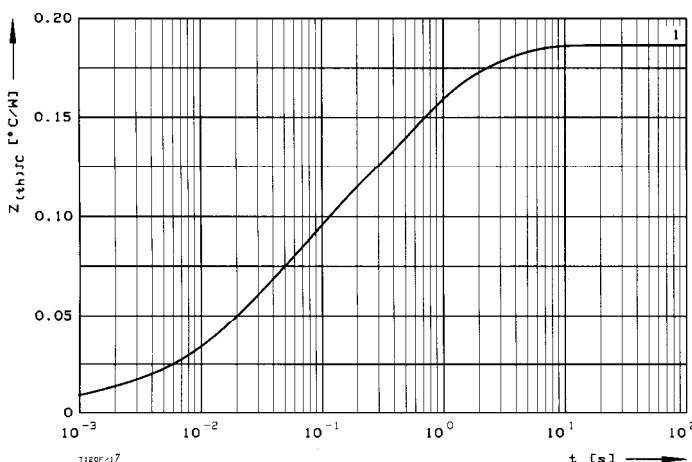
Bild/Fig. 16

Rückstromspitze $I_{RM} = f(-di/dt)$, $t_{vj} = t_{vj(\max)}$, $V_R = 0.5 V_{RRM}$, $V_{RM} = 0.8 V_{RRM}$
Peak reverse recovery current $I_{RM} = f(-di/dt)$, $t_{vj} = t_{vj(\max)}$, $V_R = 0.5 V_{RRM}$, $V_{RM} = 0.8 V_{RRM}$
Parameter: Durchlaßstrom/On-state current i_{TM}



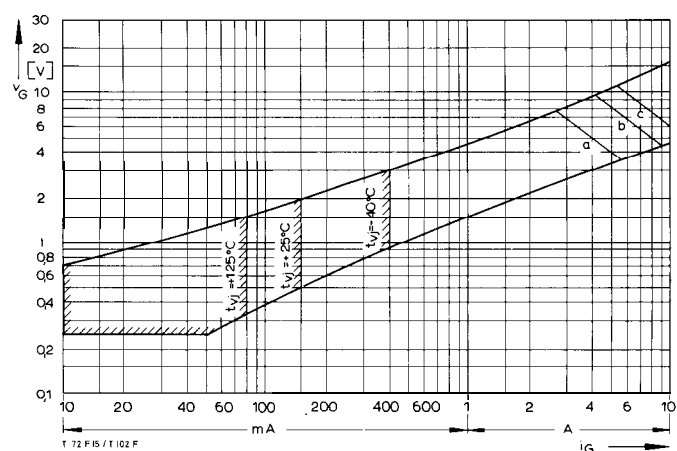
Bild/Fig. 18

Zündverzug/Gate controlled delay time $t_{gd} = f(i_G)$, $t_{vj} = 25^\circ C$, $di_G/dt = i_{GM}/1\mu s$
a — Maximaler Verlauf/Limiting characteristic
b — Typischer Verlauf/Typical characteristic



Bild/Fig. 17

Transienter Innerer Wärmewiderstand $Z_{(th)JC} = f(t)$, DC
Transient thermal impedance $Z_{(th)JC} = f(t)$, DC



Bild/Fig. 19

Steuercharakteristik mit Zündbereichen/Gata Characteristic with triggering areas
 $V_G = f(i_G)$, $V_o = 12 V$

Parameter:	a	b	c
Steuerimpulsdauer/Trigger pulse duration t_g [ms]	10	1	0,5
Höchstzulässige Spitzesteuerverlustleistung/ Max. rated peak gate power dissipation P_{GM} [W]	20	40	60

Analytische Elemente des transienten Wärmewiderstandes Z_{thJC} für DC
Analytical elements of transient thermal impedance Z_{thJC} for DC

Pos. n	1	2	3	4	5	6	7
R_{thn} [$^\circ C/W$]	0,008134	0,032536	0,054253	0,061911	0,029501		
τ_n [s]	0.000814	0.013651	0.066196	0.496428	2.293634		

Analytische Funktion/analytical function:

$$Z_{thJC} = \sum_{n=1}^{n_{\max}} R_{thn} (1 - \text{EXP} (-t/\tau_n))$$